

SLOVENSKÁ TECHNICKÁ UNIVERZITA V BRATISLAVE
FAKULTA ELEKTROTECHNIKY A INFORMATIKY

RIADENIE NELINEÁRNYCH SPOJITÝCH SYSTÉMOV
TÍMOVÝ PROJEKT

Študijný program:	Robotika a kybernetika
Študijný odbor:	Kybernetika
Školiace pracovisko:	Ústav robotiky a kybernetiky
Vedúci projektu:	Prof. Ing. Ján Murgaš, PhD.

Bratislava 2020

Bc. Eva Štalmachová
Bc. Marek Trebul'a
Bc. Denis Vasko
Bc. Ján Urdianyk

TÍMOVÝ PROJEKT ZADANIE

Študijný program:	Robotika a kybernetika
Študijný odbor:	Kybernetika
Vedúci projektu:	Prof. Ing. Ján Murgaš, PhD.
Miesto vypracovania projektu:	Ústav robotiky a kybernetiky
Riešitelia:	

Názov projektu: *Riadenie nelineárnych spojitých systémov*

Špecifikácia zadania:

Cieľom projektu je navrhnúť a overiť metódy nelineárneho riadenia vybraných nelineárnych systémov za účelom pedagogického využitia.

Úlohy:

1. Pre zadané metódy nelineárneho riadenia spojitých systémov vypracujte príklady využitia v rozsahu:

- Návrh riadenia
- Simulačné overenie
- Pedagogické spracovanie

2. Vypracujte a predneste prezentáciu.

3. Vypracujte posudok na projekt druhého tímu

4. Pri riešení postupujte podľa zásad tímového projektu.

Termín odovzdania projektu: 15.5.2020

Obsah

Zoznam použitých skratiek	5
1 Úvod	6
2 Matematické základy	7
3 Metóda spätnoväzobnej linearizácie	8
4 Vstupno-stavová metóda spätnoväzobnej linearizácie	9
Návrh riadenia - Príklad 1.	9
Simulačná schéma - Príklad 1.	9
Overenie navrhnutého riadenia - Príklad 1.	9
Návrh riadenia - Príklad 2.	9
Simulačná schéma - Príklad 2.	9
Overenie navrhnutého riadenia - Príklad 2.	9
Porovnanie navrhnutého riadenia s lineárnym regulátorom	9
5 Vstupno-výstupná metóda spätnoväzobnej linearizácie	10
Úvodný príklad	10
Príklad s internou dynamikou	14
Simulačná schéma - Príklad 1.	14
Overenie navrhnutého riadenia - Príklad 1.	14
Návrh riadenia - Príklad 2.	14
Simulačná schéma - Príklad 2.	14
Overenie navrhnutého riadenia - Príklad 2.	14
Porovnanie navrhnutého riadenia s lineárnym regulátorom	14
6 Prehľad takých základných latex vecí - Tato sekcia tu nebude	15
Enumeration	16
Itemization	17
7 Záver	18

Zoznam použitých skratiek

1 Úvod

2 Matematické základy

Tu začíname doplnat text. Keď chcete skompilovať ctrl+s a skomplilujete main.tex nekompilujte tento subor. Také základné pravidlá aby sme sa vedeli orientovať obrázky dávajte do priečinka figures. Ak budete chcieť robiť referenciu na obrázok, rovnicu alebo sekcie : 2. Preto prosím každý obrázok, sekciu a rovnicu label-ujte, uľahčí to robotu. Ja mám vo zvyku sekcie nazývať sec:nazov, obrázky fig:nazov, rovnice eq:nazov. [1]

3 Metóda spätnoväzobnej linearizácie

tu by mohla byt nejaka teoria o spätnoväzobnej linearizácií

4 Vstupno-stavová metóda spätnoväzobnej linearizácie

tu by mohla byť nejaká teória o spätnoväzobnej linearizácii VS

Návrh riadenia - Príklad 1.

tu bude príklad 1 + výpočet

Simulačné schéma - Príklad 1.

tu schéma

Overenie navrhnutého riadenia - Príklad 1.

tu výsledky čo sme dosiahli plus nejaký pokus k tomu

Návrh riadenia - Príklad 2.

Simulačné schéma - Príklad 2.

Overenie navrhnutého riadenia - Príklad 2.

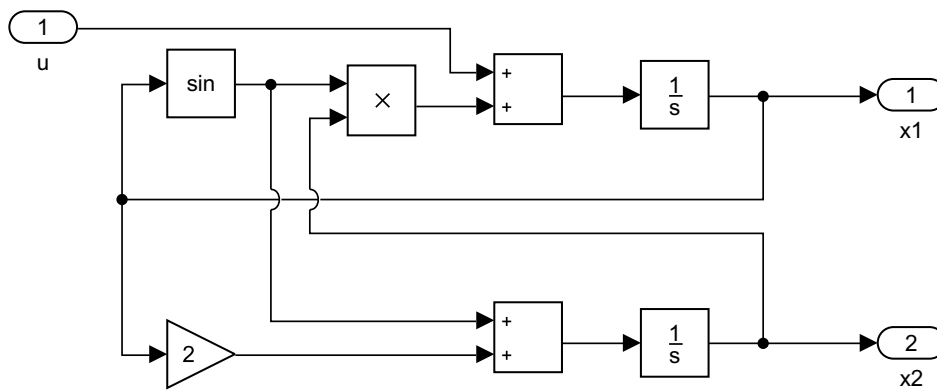
Porovnanie navrhnutého riadenia s lineárnym regulátorom

5 Vstupno-výstupná metóda spätnoväzobnej linearizácie

Úvodný príklad

Majme systém, ktorý je určený stavovým opisom rovn. (1). Bloková schéma systému je na obr. 1.

$$\begin{aligned} \dot{x}_1 &= u + \sin(x_1)x_2 \\ \dot{x}_2 &= 2x_1 + \sin(x_1) \\ y &= x_2 \end{aligned} \quad (1)$$



Obr. 1: Bloková schéma systému z rovn. (1)

Overme teraz, že bod $x_1 = x_2 = 0$, je rovnovážný bodom systému.

$$\begin{aligned} \dot{x}_1|_{x_1=x_2=0} &= \sin(0)0 = 0 \\ \dot{x}_2|_{x_1=x_2=0} &= 0 + \sin(0) = 0 \end{aligned}$$

Všimnime si, že v tomto bode sú derivácie stavových premenných v čase nulové, čo je charakteristické pre rovnovážné body.

Predpokladajme, že chceme tento systém riadiť tak, aby výstup dosiahol žiadanú hodnotu r .

Aplikujme nelineárne riadenie, konkrétne metódu vstupno výstupnej spätnoväzobnej linearizácie. Túto metódu vysvetlíme rovno počas návrhu.

Najprv derivujeme vzťah pre výstup systému y , tak ako v rovn. (2). Toto je

prvým krokom metódy.

$$\begin{aligned}
 y &= x_2 \\
 \implies \dot{y} &= \dot{x}_2 = 2x_1 + \sin(x_1) \\
 \implies \ddot{y} &= \ddot{x}_2 \\
 &= 2 + \cos(x_1)\dot{x}_1 \\
 &= 2 + \cos(x_1)(u + \sin(x_1)x_2)
 \end{aligned} \tag{2}$$

Teraz si všimnime, že ak zvolíme vstup do systému, tak ako je rovn. (3), po dosadení dostaneme rovn. (4). Voľba takéhoto zákona, nazveme ho zákonom linearizácie, pre vstup u do systému, je druhým krokom metódy.

$$u = -\sin(x_1)x_2 + \frac{v}{2 + \cos x_1} \tag{3}$$

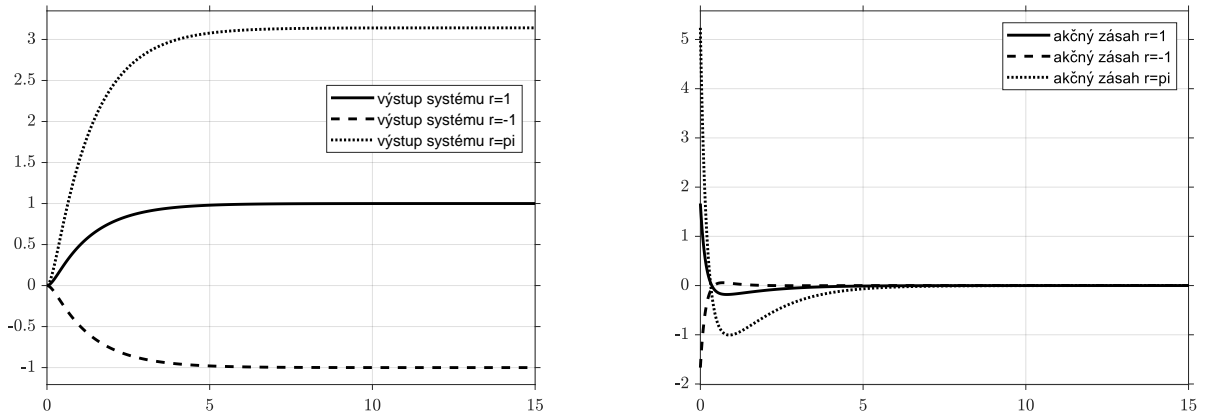
$$\begin{aligned}
 \ddot{y} &= 2 + \cos(x_1)(u + \sin(x_1)x_2) \\
 &= 2 + \cos(x_1)\left(-\sin(x_1)x_2 + \frac{v}{2 + \cos x_1} + \sin(x_1)x_2\right) \\
 &= 2 + \cos(x_1)\left(\frac{v}{2 + \cos x_1}\right) \\
 &= v
 \end{aligned} \tag{4}$$

Nakoniec ak zvolíme v podľa rovn. (5), tak pre dostávame rovnicu pre dynamiku odchýlky rovn. (6). Ak zvolíme koeficienty k všetky kladné, dynamika odchýlky bude vždy stabilná a bude konvergovať k 0. Voľba tohto zákona, pre v , povedzme zákona riadenia linearizovaného systému, je posledným krokom tejto metódy.

$$\begin{aligned}
 v &= \ddot{r} + k_1\dot{e} + k_2e \\
 &= -k_1\dot{y} + k_2e \text{ keďže } r \text{ je konšt., tak jeho derivácie sú } 0
 \end{aligned} \tag{5}$$

$$\begin{aligned}
 v &= \ddot{r} + k_1\dot{e} + k_2e \\
 \implies \ddot{y} &= \ddot{r} + k_1\dot{e} + k_2e \\
 \implies 0 &= \ddot{e} + k_1\dot{e} + k_2e
 \end{aligned} \tag{6}$$

Máme tak navrhnutý regulátor a výsledok zo simulácie, pre niekoľko žiadaných úrovní výstupu je na obr. 2. Pre porovnanie skúsme navrhnuť ešte regulátor



Obr. 2: Regulácia výstupu na konštantnú hodnotu nelin. regulátorom navrhnutým pomocou metódy spätoväzbovej linearizácie vstupno-výstupnej rovn. (1)

pre tento systém, ktorý linearizujeme v rovnovážnom bode $x_1 = x_2 = 0$. Po linearizovaní bude mať systém tvar rovn. (7).

$$\begin{aligned}\Delta \dot{x}_1 &= \Delta u \\ \Delta \dot{x}_2 &= 3\Delta x_1 \\ \Delta y &= \Delta x_2\end{aligned}\tag{7}$$

Vyjadrieme si prenosovú funkciu systému, pre jednoduchší návrh parametrov regulátora. Vyjadrenie prebieha v rovn. (8). V tomto momente ešte potrebujeme zapojiť pred systém regulátor a vyjadriť prenos uzavretého regulačného obvodu.

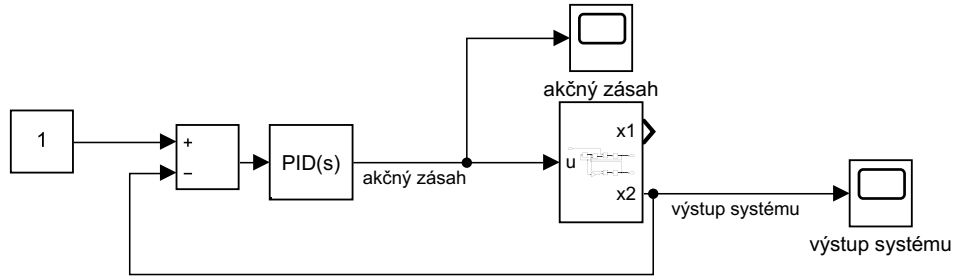
$$\begin{aligned}\Delta y &= \Delta x_2 = \frac{1}{s} 3\Delta x_1 = \frac{1}{s^2} 3\Delta u \\ \Rightarrow \frac{\Delta y}{\Delta u} &= \frac{3}{s^2}\end{aligned}\tag{8}$$

Zapojme na vstup systému PID regulátor, ako je na obr. 3. Ktorý má prenos rovn. (9), kde P, D, I sú parametre regulátora. Pre zjednodušenie ešte prenosy systému roznásobme, dostaneme tak prenos otvoreného obvodu G_{ORO} daný rovn. (10).

$$\frac{U(s)}{E(s)} = P + Ds + \frac{I}{s}\tag{9}$$

$$G_{ORO} = 3 \frac{Ps + Ds^2 + I}{s^3}\tag{10}$$

Následne vyjadrieme prenos uzavretého regulačného obvodu G_{URO} podľa zná-



Obr. 3: Zapojenie PID regulátora

meho pravidla zápornej spätnej väzby rovn. (11). Dostaneme tak prenos rovn. (12).

$$G_{URO} = \frac{G_{ORO}}{1 + G_{ORO}} \quad (11)$$

$$\begin{aligned} G_{URO} &= \frac{3 \frac{Ps + Ds^2 + I}{s^3}}{1 + 3 \frac{Ps + Ds^2 + I}{s^3}} \\ &= \frac{3(Ps + Ds^2 + I)}{s^3 + 3Ps + 3Ds^2 + 3I} \end{aligned} \quad (12)$$

Využime teraz metódu Pole-Placement na návrh parametrov regulátora, umiestnime póly na nasledovných pozíciách komplexnej roviny $p_1 = -5, p_2 = -4, p_3 = -3$. Teda nech sú póly reálne a záporné, čo zabezpečí stabilitu systému, keďže na kvalitu riadenia zatiaľ nekladíme dôraz.

Polynóm ktorý bude mať zvolené korene, získame roznásobením polynmov prvého stupňa, ktorých korene sú zvolené póly, teda roznásobením rovn. (13).

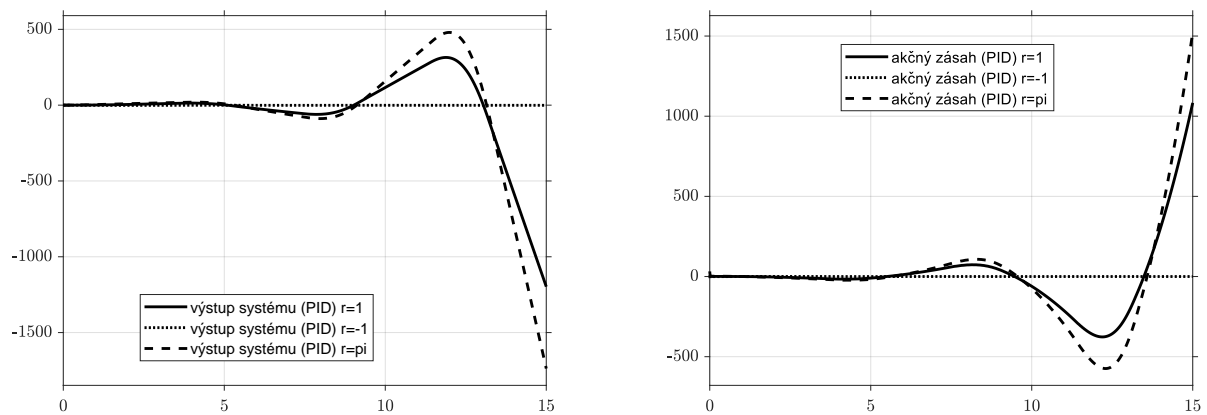
$$\begin{aligned} P(s) &= (s - p_1)(s - p_2)(s - p_3) \\ &= (s + 1)(s + 0.5)(s + 0.5) \\ &= s^3 + 2s^2 + 1.25s + 0.25 \end{aligned} \quad (13)$$

Tento želaný polynóm porovnáme s CHPOLY URO, teda rovn. (14), dostaneme tak rovnice rovn. (15) z ktorých vypočítame parametre regulátora.

$$s^3 + 2s^2 + 1.25s + 0.25 = s^3 + 3Ps + 3Ds^2 + 3I \quad (14)$$

$$\begin{aligned}
 3P &= 2.00 & P &= \frac{2.00}{3} \\
 3D &= 1.25 \implies D &= \frac{1.25}{3} \\
 3I &= 0.25 & I &= \frac{0.25}{3}
 \end{aligned}
 \tag{15}$$

Skúsme tento regulátor aplikovať na nelineárny systém, ktorý chceme riadiť. Výsledok zo simulácie je na obr. 4. Z tohto môžeme usúdiť, že nelineárne



Obr. 4: Regulácia výstupu na konštantnú hodnotu PID regulátorom navrhnutým pomocou metódy pole-placement

riadenie je v tomto prípade, nevyhnutné.

Príklad s internou dynamikou

Simulačná schéma - Príklad 1.

Overenie navrhnutého riadenia - Príklad 1.

Návrh riadenia - Príklad 2.

Simulačná schéma - Príklad 2.

Overenie navrhnutého riadenia - Príklad 2.

Porovnanie navrhnutého riadenia s lineárnym regulátorom

6 Prehľad takých základných latex vecí - Tato sekcia tu nebude

$$H = \begin{bmatrix} 18.9000 & 47.6000 & 63.0000 \\ 28.7000 & 44.1000 & 45.5000 \\ 15.4000 & 16.8000 & 12.6000 \\ 1.4000 & -2.8000 & -7.0000 \end{bmatrix} y = \begin{bmatrix} -64.4000 \\ -41.3000 \\ -8.4000 \\ 8.4000 \end{bmatrix}$$

$$F(s) = \frac{K}{1 + Ts} e^{-Ds} \quad (16)$$

Neznáme parametre: K, T, D

Postup:

1.

$$K = y(\infty); K = 3.8059$$

2.

$$T = \frac{t_2 - t_1}{\ln\left(\frac{K-y_1}{K-y_2}\right)}; T = 0.4452$$

3.

$$x = \frac{\ln\left(\frac{K-y_1}{K}\right)}{\ln\frac{K-y_2}{K}}, D = \frac{t_2 x - t_1}{x - 1}; x = 0.2093, D = 0.0857$$

Postup:

•

$$K = y(\infty); K = 3.8059$$

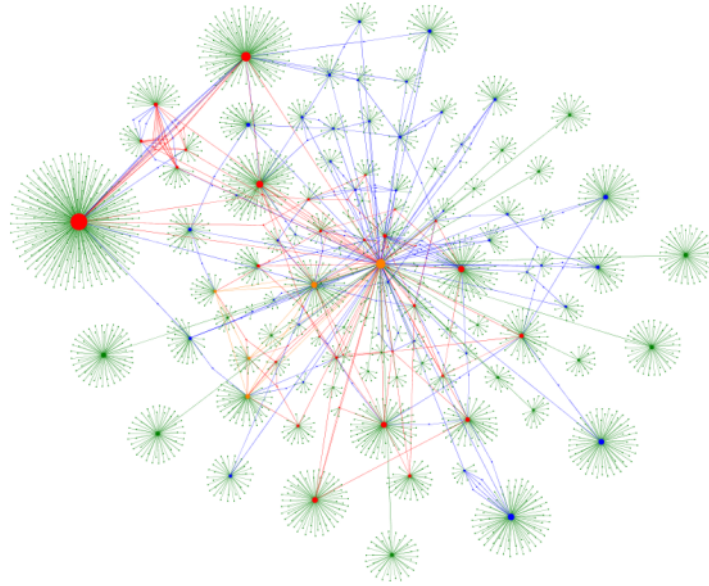
•

$$T = \frac{t_2 - t_1}{\ln\left(\frac{K-y_1}{K-y_2}\right)}; T = 0.4452$$

•

$$x = \frac{\ln\left(\frac{K-y_1}{K}\right)}{\ln\frac{K-y_2}{K}}, D = \frac{t_2 x - t_1}{x - 1}; x = 0.2093, D = 0.0857$$

k	θ_k^*	P_k	e_k	Q_k
0	$\begin{bmatrix} 0 \\ 0 \\ 0 \end{bmatrix}$	$10^{10} * \begin{bmatrix} 1 & 0 & 0 \\ 0 & 1 & 0 \\ 0 & 0 & 1 \end{bmatrix}$	0	0
1	$\begin{bmatrix} -0.1846 \\ -0.4650 \\ -0.6155 \end{bmatrix}$	$10^9 * \begin{bmatrix} 9.4581 & -1.3648 & -1.8063 \\ -1.3648 & 6.5628 & -4.5492 \\ -1.8063 & -4.5492 & 3.9790 \end{bmatrix}$	-64.4000	$6.2915 * 10^{-11}$
2	$\begin{bmatrix} 0.4987 \\ -0.2360 \\ -0.9935 \end{bmatrix}$	$10^9 * \begin{bmatrix} 2.4082 & -3.7279 & 2.0942 \\ -3.7279 & 5.7707 & -3.2418 \\ 2.0942 & -3.2418 & 1.8211 \end{bmatrix}$	12.5111	$1.2915 * 10^{-10}$
3	$\begin{bmatrix} 1.6486 \\ -2.0160 \\ 0.0064 \end{bmatrix}$	$\begin{bmatrix} 13.6362 & -21.4003 & 12.0936 \\ -21.4002 & 33.5946 & -18.9875 \\ 12.0935 & -18.9874 & 10.7325 \end{bmatrix}$	0.4031	$6.7820 * 10^{-10}$
4	$\begin{bmatrix} 0.8406 \\ -0.7436 \\ -0.7140 \end{bmatrix}$	$\begin{bmatrix} 4.3694 & -6.8073 & 3.8314 \\ -6.8066 & 10.6133 & -5.9761 \\ 3.8311 & -5.9762 & 3.3659 \end{bmatrix}$	0.4920	0.0704



Obr. 5: *Name figure*

Enumeration

1. goal 1
 - (a) goal 1.a
 - (b) goal 1.b
2. goal 2

3. goal 3

Itemization

- item 1
 - item 1.1
 - item 1.2
- item 2
- item 3

7 Záver

Literatúra

- [1] SLOTINE, Jean-Jacques E., et al. Applied nonlinear control. Englewood Cliffs, NJ: Prentice hall, 1991.